

[文章编号] 1007-3949(2006)14-10-0857-05

·实验研究·

## 海洋活性物质 2,3-吲哚醌抗鹌鹑实验性动脉粥样硬化作用及其机制

刘占涛, 岳旺, 赵永娟, 杨志宏, 仲伟珍

(青岛大学医学院药理学教研室, 山东省青岛市 266021)

[关键词] 药理学; 2,3-吲哚醌; 高血脂症; 洛伐他汀; 病理组织学检查; 动脉粥样硬化; 鹌鹑

[摘要] 目的 研究2,3-吲哚醌对实验性动脉粥样硬化的抑制作用,并初步探讨其作用机制。方法 取雄性鹌鹑随机分为空白对照组、高脂组、洛伐他汀组、2,3-吲哚醌小剂量组、中剂量组和高剂量组。除空白组喂基础饲料外,其余组均喂高脂饲料,各用药组同时灌胃给药,连续用药8周。于用药第5周和8周末测定血清及组织中脂质含量,对主动脉、冠状动脉、肝脏进行肉眼及光镜组织学检查,检测2,3-吲哚醌对血清总超氧化物歧化酶、血清谷胱甘肽过氧化物酶、血清总抗氧化能力及脂质过氧化物丙二醛含量的影响。结果 连续灌胃给药8周末时,与高脂组比较3种剂量的2,3-吲哚醌均可降低血清总胆固醇、甘油三酯、低密度脂蛋白胆固醇和载脂蛋白B的水平( $P < 0.05$ ,  $P < 0.01$ ),升高高密度脂蛋白胆固醇和载脂蛋白A的水平( $P < 0.05$ ,  $P < 0.01$ );2,3-吲哚醌组主动脉壁、肝脏及心肌中胆固醇和甘油三酯含量也明显降低( $P < 0.05$ ,  $P < 0.01$ );病理检测结果发现,2,3-吲哚醌组冠状动脉和主动脉内膜粥样硬化斑块的病变程度较高脂组明显减轻;2,3-吲哚醌可升高血清总超氧化物歧化酶、血清谷胱甘肽过氧化物酶的含量和血清总抗氧化能力,降低脂质过氧化物丙二醛的含量( $P < 0.05$ ,  $P < 0.01$ )。结论 2,3-吲哚醌预防性用药可抑制动脉粥样硬化形成,其作用机制与其降血脂和抗氧化作用有关。

[中图分类号] R96

[文献标识码] A

### Effects and Mechanisms of 2,3-Dioxoindoline on Experimental Atherosclerosis in Quails

LIU Zhantao, YUE Wang, ZHAO Yong-Juan, YANG Zhi-Hong, and ZHONG Wei-Zhen

(Department of Pharmacology, the Medicine College of Qingdao University, Qingdao 266021, China)

[KEY WORDS] 2,3-Dioxoindoline; Hyperlipidemia; Lovastatin; Histopathology; Atherosclerosis; Quail

[ABSTRACT] Aim To study the effect of 2,3-dioxoindoline on experimental atherosclerosis in quail and its possible mechanisms. Methods Atherosclerosis model in quail was established and divided randomly as group of 2,3-dioxoindoline (20, 60, 120 mg/kg), lovastatin (79.5 mg/kg), model and control. The lipid levels in serum were detected at the end of 5th and 8th week respectively. The aorta, myocardium and liver were examined histopathologically and so were the level of total superoxide dismutase (SOD), glutathione peroxidase (GSH-Px) and total antioxidant capacity (T-AOC) while reduced malondialdehyde (MDA) in serum at the end of 8th week. Results At the eighth weekend compared with model group, 2,3-dioxoindoline decreased the levels of total cholesterol (TC) ( $P < 0.01$ ), triglyceride (TG) ( $P < 0.01$ ), low density lipoprotein cholesterol (LDLC) and apolipoprotein B ( $P < 0.05$ ,  $P < 0.01$ ), increased high density lipoprotein cholesterol (HDLC) and apolipoprotein A in serum.

At the same time, TC and TG in the liver, myocardial and aortic wall were reduced ( $P < 0.05$ ,  $P < 0.01$ ), the degree of atherosclerotic lesion in aorta and coronary artery and fatty degeneration of liver in 2,3-dioxoindoline group was reduced ( $P < 0.05$ ,  $P < 0.01$ ), the level of the serum SOD, GSH-Px and T-AOC was increased while MDA level was reduced ( $P < 0.05$ ,  $P < 0.01$ ). Conclusions Beforehand administration of 2,3-dioxoindoline can inhibit atherosclerotic lesion probably due to decreasing blood lipid level and antioxidation.

动脉粥样硬化(atherosclerosis, As)的发生和发展与血脂升高、脂蛋白代谢紊乱以及机体内的氧化与抗氧化平衡密切相关,因此降低异常升高的血脂及抗氧化是防治As和心脑血管疾病的主要手段之一。2,3-吲哚醌是存在于海洋生物和动植物中的天

然活性物质<sup>[1]</sup>,化学结构明确,是单一成分,现已可人工合成。本实验利用实验性As模型,通过预先给药的方式,观察2,3-吲哚醌的调血脂和抗氧化作用,并分析其抗As的可能机制。

### 1 材料与方法

#### 1.1 试剂与仪器

2,3-吲哚醌由青岛大学药物研发基地提供,粉剂,以1.25%西黄蓍胶稀释至所需浓度;洛伐他汀

[收稿日期] 2006-04-03 [修回日期] 2006-09-18

[基金项目] 青岛市科技局资助项目(项目编号:03-3-hhr-14)

[作者简介] 刘占涛,讲师,研究方向为心血管药理学。通讯作者岳旺,教授,博士研究生导师,研究方向为心血管药理学,联系电话为0532-83812449, E-mail为qdztliu@yahoo.com.cn。

由鲁南制药股份有限公司提供, 批号 20030906, 粉剂; 胆固醇进口分装, 由上海化学试剂公司提供; 血清脂质测定试剂盒(胆固醇、甘油三酯和高密度脂蛋白)由南京建成生物工程有限公司提供; 载脂蛋白 A、B 测定试剂盒由上海明华体外诊断试剂有限公司提供。AC ④全自动生物化学分析仪由美国 Landmark 公司生产。

## 1.2 动物分组及粥样硬化模型的建立

取朝鲜鹌鹑 120 只, 体重 90~110 g, 雄性, 由青岛大学医学院动物管理科提供。随机分为 6 组: 空白对照组; ④高脂组; ④洛伐他汀组: 给予洛伐他汀 79.5 mg/kg; ~ 组为吲哚醌小、中和大剂量组: 分别给予 2, 3-吲哚醌 20、60 和 120 mg/kg。空白对照组喂饲基础饲料, 其余组均喂饲高脂饲料建立粥样硬化模型(高脂饲料含 1% 胆固醇、14% 猪油和 6% 花生油, 其它成分同基础饲料)。各用药组均口服灌胃给药, 连续用药 8 周, 实验期间各组均有 1~2 只鹌鹑死亡。

## 1.3 血清脂质含量测定

各组鹌鹑于第 5 周和 8 周末时, 禁食 12 h, 称体重, 颈静脉取血 2 mL, 分离血清, 采用酶法测定血清中血清总胆固醇 (total cholesterol, TC)、甘油三酯 (triglyceride, TG)、高密度脂蛋白胆固醇 (high density lipoprotein cholesterol, HDLC)、低密度脂蛋白胆固醇 (low density lipoprotein cholesterol, LDLC)、载脂蛋白 A (apolipoprotein A) 和载脂蛋白 (apolipoprotein B) 水平。

## 1.4 主动脉、肝脏及心肌中脂质含量的测定

于实验第 8 周末将动物处死, 取出主动脉、肝脏及心脏, 经匀浆、离心、脂质提取液抽提, 采用酶法测定主动脉、心肌和肝脏中 TC 和 TG 的含量。

## 1.5 病理形态学检查

实验结束时将动物全部处死, 取出主动脉、心脏及肝脏, 取自主动脉弓至髂动脉分叉处一段血管, 在背侧面纵向剪开后, 肉眼观察主动脉内膜粥样斑块的分布特点。取出肝脏, 肉眼观察肝脏表面颜色, 称重计算肝脏系数。取出心脏, 将冠状沟以下部分切下, 制作标本。将主动脉、心肌和肝脏标本经常规福尔马林固定后, 石蜡包埋、切片、HE 及苏丹 ⑤染色, 在光镜下进行病理形态学观察。比较各组动物主动脉和冠状动脉的 As 病变程度及肝脏脂肪变程度, 按文献[2] 中关于病变定量分级的标准和方法进行分级, 比较各组动物主动脉和冠状动脉的 As 病变及肝脏脂肪变程度。

## 1.6 生物化学测定

于实验第 8 周末将动物处死, 取血分离血清, 按

测定试剂盒说明, 分别测定鹌鹑血清总超氧化物歧化酶 (total superoxide dismutase, T-SOD)、血清谷胱甘肽过氧化物酶 (glutathione peroxidase, GSH-Px)、血清总抗氧化能力 (total antioxidant capacity, T-AOC) 及脂质过氧化物丙二醛 (malondialdehyde, MDA) 的含量。

## 1.7 统计学处理

数据用  $\bar{x} \pm s$  表示, 各组均数间比较采用 *t* 检验, 病理学检测数据采用秩和检验。

## 2 结果

### 2.1 各组血清脂质含量的比较

与对照组比较, 第 5 周时高脂组血清 TC、TG 和 LDLC 明显升高 ( $P < 0.01$ ), 并持续整个实验期 (8 周), 表明动物已形成高脂血症。与高脂组比较, 第 5 周时吲哚醌各组 TC 和 TG 降低 ( $P < 0.01$ ), 大剂量和中剂量组 LDLC 水平有所降低 ( $P < 0.01$ ), 大剂量组 HDLC 水平升高 ( $P < 0.05$ )。第 8 周时, 与高脂组比较, 吲哚醌各组血清 TC、TG、LDLC 和载脂蛋白 B 的水平均降低 ( $P < 0.05$ ,  $P < 0.01$ ), HDLC 和载脂蛋白 A 水平升高 ( $P < 0.05$ ,  $P < 0.01$ ) (表 1, 表 2)。

表 1. 用药 5 周末 2, 3-吲哚醌对鹌鹑血脂的影响 ( $\bar{x} \pm s$ ,  $n=10$ )

分组	TG (mmol/L)	TC (mmol/L)	LDLC (mmol/L)	HDLC (mmol/L)
对照组	1.21 ± 0.19	5.79 ± 1.25	1.56 ± 0.35	3.64 ± 0.77
高脂组	3.11 ± 0.39 <sup>c</sup>	55.36 ± 11.32 <sup>c</sup>	34.25 ± 5.25 <sup>c</sup>	3.37 ± 0.83
洛伐他汀组	2.71 ± 0.29 <sup>b</sup>	39.03 ± 7.99 <sup>b</sup>	24.14 ± 4.29 <sup>a</sup>	4.35 ± 1.30
吲哚醌小剂量组	2.01 ± 0.38 <sup>b</sup>	43.32 ± 6.46 <sup>b</sup>	26.17 ± 4.97 <sup>b</sup>	4.63 ± 1.46
吲哚醌中剂量组	2.01 ± 0.40 <sup>b</sup>	38.51 ± 12.18 <sup>b</sup>	17.13 ± 3.3.62 <sup>b</sup>	4.64 ± 0.89
吲哚醌大剂量组	1.92 ± 0.39 <sup>b</sup>	31.92 ± 7.40 <sup>b</sup>	12.29 ± 3.15 <sup>b</sup>	4.85 ± 0.87 <sup>a</sup>

a:  $P < 0.05$ , b:  $P < 0.01$ , 与高脂组比较; c:  $P < 0.01$ , 与对照组比较。

### 2.2 各组主动脉、肝脏及心肌中脂质含量的比较

高脂组主动脉组织中 TC 和 TG 含量明显高于对照组, 而吲哚醌大、中、小剂量组及洛伐他汀组 TC 和 TG 水平均比较低, 与高脂组差异显著 ( $P < 0.05$ ,  $P < 0.01$ ) (表 3)。

### 2.3 病理形态学改变

2.3.1 肝脏脂肪变 高脂组动物的肝脏无论肉眼还是显微镜下观察均可看到明显的脂肪变, 触之有油腻感, 镜下可见肝细胞内含有大量脂肪滴, 肝脏系数高于正常对照组 ( $P < 0.01$ ), 根据文献[3] 肝脏脂肪变的分级标准, 吲哚醌各组脂肪变明显轻于高脂组, 肝脏系数也小于高脂组 ( $P < 0.05$ ,  $P < 0.01$ ) (表 4, 图 1)。

表2. 用药8周末2,3-吲哚醌对鹌鹑血脂的影响 ( $\bar{x} \pm s$ , n=10)

分组	TG (mmol/L)	TC (mmol/L)	LDLC (mmol/L)	HDLC (mmol/L)	载脂蛋白A (g/L)	载脂蛋白B (g/L)
对照组	1.37 ± 0.21	5.53 ± 0.91	1.22 ± 0.30	3.28 ± 0.71	1.90 ± 0.43	0.98 ± 0.18
高脂组	3.31 ± 0.62 <sup>c</sup>	60.66 ± 13.65 <sup>c</sup>	39.41 ± 5.99 <sup>c</sup>	3.95 ± 0.80	2.01 ± 0.48	31.23 ± 5.41 <sup>b</sup>
洛伐他汀组	2.28 ± 0.55 <sup>b</sup>	28.23 ± 5.60 <sup>b</sup>	15.24 ± 4.40 <sup>b</sup>	4.95 ± 1.10 <sup>a</sup>	2.97 ± 0.60 <sup>a</sup>	13.76 ± 3.98 <sup>b</sup>
吲哚醌小剂量组	2.02 ± 0.34 <sup>b</sup>	33.61 ± 8.10 <sup>b</sup>	15.12 ± 3.10 <sup>b</sup>	5.23 ± 0.52 <sup>b</sup>	2.83 ± 0.32 <sup>a</sup>	13.62 ± 2.56 <sup>b</sup>
吲哚醌中剂量组	1.88 ± 0.48 <sup>b</sup>	30.96 ± 8.94 <sup>b</sup>	10.89 ± 2.29 <sup>b</sup>	5.45 ± 1.22 <sup>b</sup>	3.31 ± 0.63 <sup>b</sup>	9.80 ± 2.03 <sup>b</sup>
吲哚醌大剂量组	1.72 ± 0.41 <sup>b</sup>	28.78 ± 7.76 <sup>b</sup>	7.39 ± 1.80 <sup>b</sup>	5.40 ± 0.65 <sup>b</sup>	3.24 ± 0.39 <sup>b</sup>	6.65 ± 1.60 <sup>b</sup>

a: P < 0.05, b: P < 0.01, 与高脂组比较; c: P < 0.01, 与对照组比较。

表3. 用药8周末2,3-吲哚醌对主动脉、肝脏及心肌中脂质含量的影响 ( $\bar{x} \pm s$ , n=10)

分组	主动脉 (mg/10 mg)		心肌 (mg/100 mg)		肝脏 (mg/100 mg)	
	TC	TG	TC	TG	TC	TG
对照组	4.71 ± 0.99	7.58 ± 1.83	5.25 ± 0.67	8.57 ± 1.23	6.80 ± 0.49	13.64 ± 3.44
高脂组	7.76 ± 1.65 <sup>c</sup>	9.19 ± 2.05 <sup>d</sup>	8.51 ± 1.64 <sup>c</sup>	16.54 ± 2.56 <sup>c</sup>	23.69 ± 4.51 <sup>c</sup>	19.57 ± 4.95 <sup>d</sup>
洛伐他汀	6.13 ± 1.03 <sup>a</sup>	6.67 ± 1.32 <sup>b</sup>	5.84 ± 0.86 <sup>b</sup>	11.79 ± 2.83 <sup>b</sup>	16.14 ± 3.44 <sup>b</sup>	14.90 ± 2.41 <sup>a</sup>
吲哚醌小剂量组	6.25 ± 0.95 <sup>b</sup>	6.17 ± 1.71 <sup>b</sup>	6.14 ± 1.23 <sup>b</sup>	14.91 ± 3.21	17.10 ± 2.72 <sup>b</sup>	17.26 ± 3.46
吲哚醌中剂量组	5.96 ± 0.93 <sup>b</sup>	4.56 ± 1.13 <sup>b</sup>	6.09 ± 0.99 <sup>b</sup>	12.83 ± 3.63 <sup>a</sup>	14.97 ± 2.24 <sup>b</sup>	15.38 ± 3.80
吲哚醌大剂量组	5.02 ± 0.66 <sup>b</sup>	4.37 ± 1.04 <sup>b</sup>	5.79 ± 0.48 <sup>b</sup>	10.26 ± 2.98 <sup>b</sup>	13.45 ± 2.72 <sup>b</sup>	14.21 ± 2.39 <sup>a</sup>

a: P < 0.05, b: P < 0.01, 与高脂组比较; c: P < 0.01, d: P < 0.05, 与对照组比较。

表4. 用药8周末2,3-吲哚醌对肝脏脂肪变性分级及肝脏系数的影响

分组	n	脂肪变性分级					肝脏系数(%)
		0	1	2	3	4	
对照组	16	6	9	1	0	0	1.65 ± 0.31
高脂组	18	0	0	2	4	10	56 <sup>c</sup>
洛伐他汀组	18	2	5	6	5	0	32 <sup>b</sup>
吲哚醌小剂量组	16	2	3	3	6	2	37 <sup>b</sup>
吲哚醌中剂量组	18	2	6	5	5	0	31 <sup>b</sup>
吲哚醌大剂量组	18	3	7	5	3	0	26 <sup>b</sup>

a: P < 0.05, b: P < 0.01, 与高脂组比较; c: P < 0.01, 与对照组比较。

**2.3.2 主动脉粥样硬化病变** 空白对照组动物主动脉内壁光滑, 光镜下见动脉壁结构完整, 肌束层次清楚, 其他各组动物的主动脉有不同程度的As病変, 以高脂组最为严重, 肉眼可见隆起于内膜表面的灰黄色斑块, 其长轴与主动脉纵轴平行。镜下可见内皮细胞脱落, 内膜增厚, 多灶性内膜下泡沫细胞聚集, 可形成脂质斑块, 内见梭形细胞、少量坏死、胆固醇针样结晶及炎细胞浸润, 内膜下层中平滑肌细胞呈不同程度增殖, 中膜平滑肌肌层分离断裂, 呈不规则纵向排列。病变多在二级以上, 而2,3-吲哚醌各组及洛伐他汀组As病変多在1级以下, 病变程度较轻, 内膜厚度及内膜下层中泡沫细胞数目明显减少

(表5, 图1)。

**2.3.3 冠状动脉病变** 高脂组冠状动脉可见管壁增厚、内膜斑块突出于管腔内, 多数占管腔面积的1/3~1/2以上, 使管腔狭窄, 内皮下和肌层内可见散在泡沫细胞和平滑肌细胞, 粉染蛋白沉积, 心内膜下心肌脂变伴灶性坏死、黏液变, 内弹力膜断续或消失。各给药组及洛伐他汀组病变程度明显轻于高脂组, 内膜斑块较小, 泡沫细胞不明显, 心肌脂变不明显, 多数占管腔面积的1/4以下或仅见内膜有轻度脂质浸润, 病变多在1级以下(表5, 图1)。

#### 2.4 抗氧化作用

吲哚醌大、中剂量组T-SOD、GSH-Px、T-AOC明

显升高( $P < 0.05$ ,  $P < 0.01$ )，小剂量组与高脂组比较差异无显著性( $P > 0.05$ )，2,3-吲哚醌三剂量组鹤

鹑血清中丙二醛含量低于对照组( $P < 0.01$ ) (表 6)。

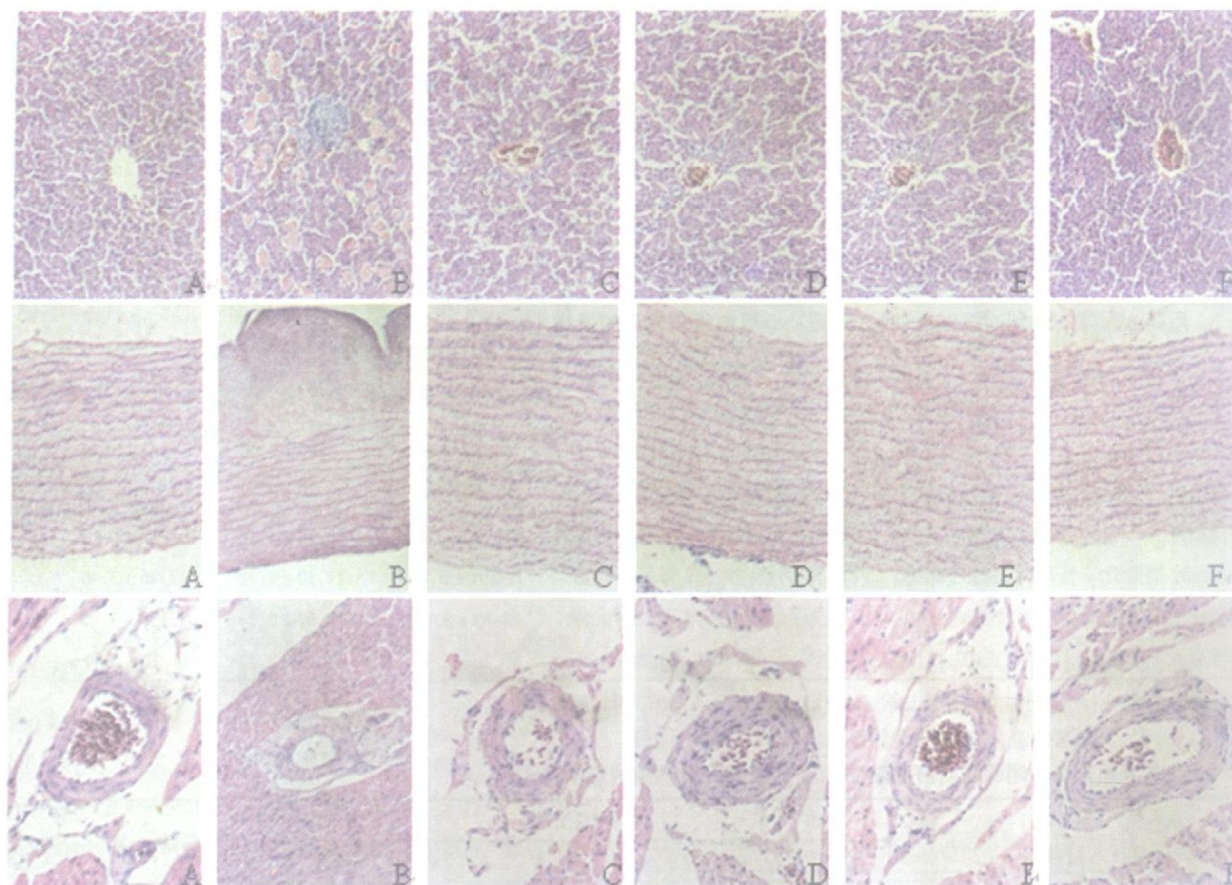


图 1. 用药 8 周末肝脏(上, HE  $\times 400$ )、主动脉内膜(中, HE  $\times 200$ )和冠状动脉(下, HE  $\times 400$ )光学显微镜图像 A 为正常组, B 为高脂组, C 为洛伐他汀组, D 为吲哚醌小剂量组, E 为吲哚醌中剂量组, F 为吲哚醌大剂量组。

表 5. 用药 8 周末 2,3-吲哚醌对鹌鹑主动脉和冠状动脉病变的影响

分 组	主动脉分级						冠状动脉分级						
	0	1	2	3	4	合计	0	0.5	1	2	3	4	合计
对照组	4	12	0	0	0	12	8	7	1	0	0	0	4.5
高脂组	0	4	2	2	8	46 <sup>c</sup>	4	7	5	0	0	0	8.5 <sup>c</sup>
洛伐他汀组	0	2	10	4	0	34	5	10	1	0	0	0	6
吲哚醌大剂量组	7	2	4	3	0	19 <sup>b</sup>	11	5	0	0	0	0	2.5 <sup>b</sup>
吲哚醌中剂量组	2	5	6	3	0	26 <sup>b</sup>	9	7	0	0	0	0	3.5 <sup>a</sup>
吲哚醌小剂量组	3	4	5	4	0	26 <sup>b</sup>	5	8	3	0	0	0	7

a:  $P < 0.05$ , b:  $P < 0.01$ , 与高脂组比较; c:  $P < 0.05$ , 与对照组比较。

### 3 讨论

根据 As 发生机制的脂源性学说, 脂代谢紊乱是形成 As 的多种原因的重要危险因素, 已知血清 TC、TG、LDLC 及其载脂蛋白 B 水平持续升高与 As 发病

率呈正相关。高脂血症时, 低密度脂蛋白增加被认为是导致内皮损伤最主要的因素<sup>[4,5]</sup>, HDLC 及其载脂蛋白 A1 可促使细胞内 TC 清除, 抑制内皮细胞和平滑肌细胞对 LDLC 的摄取, 减少泡沫细胞形成, 防

表6. 用药8周末2,3-吲哚醌对血清总超氧化物歧化酶、谷胱甘肽过氧化物酶、总抗氧化能力及丙二醛含量的影响 ( $\bar{x} \pm s$ ,  $n = 10$ )

分组	T-SOD (ku/L)	丙二醛 (μmol/L)	GSH-Px (ku/L)	T-AOC (ku/L)
对照组	50.97 ± 8.23	10.83 ± 2.12	591.3 ± 135.0	9.76 ± 2.59
高脂组	46.98 ± 9.51	19.30 ± 4.79 <sup>c</sup>	604.1 ± 152.2	9.03 ± 2.44
洛伐他汀组	79.5	62.81 ± 9.03 <sup>b</sup>	10.18 ± 2.92 <sup>b</sup>	785.08 ± 101.72 <sup>a</sup>
吲哚醌小剂量组	20	51.73 ± 6.35	10.09 ± 2.50 <sup>b</sup>	743.5 ± 124.9
吲哚醌中剂量组	67.33 ± 8.62 <sup>b</sup>	9.49 ± 2.70 <sup>b</sup>	802.1 ± 178.6 <sup>a</sup>	12.41 ± 2.89 <sup>a</sup>
吲哚醌大剂量组	69.86 ± 7.96 <sup>b</sup>	7.03 ± 2.44 <sup>b</sup>	837.2 ± 150.6 <sup>a</sup>	14.69 ± 2.89 <sup>b</sup>

a:  $P < 0.05$ , b:  $P < 0.01$ , 与高脂组比较; c:  $P < 0.01$ , 与对照组比较。

止As的发生发展,因此,降低TC、TG、LDLC及载脂蛋白B,升高HDLC及载脂蛋白A是药物防治As的重要途径<sup>[6]</sup>。本实验发现,2,3-吲哚醌预防用药可降低血清TC、TG、LDLC及载脂蛋白B水平,减少氧化型LDL的形成,并可升高血清HDLC。可以看出,2,3-吲哚醌能有效地纠正动物高脂血症的脂质代谢紊乱,具有良好的防治高脂血症的作用。

近10年来,随着抗氧化剂对动脉粥样硬化的认识<sup>[7]</sup>,抗氧化特性对As的防治作用备受国外学者的关注。丙二醛为氧自由基氧化细胞膜上磷脂形成的脂质过氧化物(LPO)的稳定存在形式,可反映机体内脂质过氧化的程度。SOD、GSH-Px是体内清除O<sub>2</sub><sup>-</sup>的主要酶,催化O<sub>2</sub><sup>-</sup>歧化为H<sub>2</sub>和O<sub>2</sub>,对机体的氧化与抗氧化平衡起着重要作用。该平衡遭到破坏,可产生大量自由基,超过机体清除能力时,即可造成组织细胞的损伤<sup>[8,9]</sup>。本实验发现2,3-吲哚醌连续用药,可使鹌鹑血清SOD、GSH-Px、总抗氧化能力(T-AOC)水平升高,2,3-吲哚醌可降低血清丙二醛含量,提示2,3-吲哚醌可提高机体清除氧自由基的能力,减少脂质过氧化物的产生,具有一定抗氧化作用,可减轻脂质过氧化物对动脉壁的直接损伤,保护了血管内皮细胞的完整性,在一定程度上抑制了As的发生及减轻病变的程度。

2,3-吲哚醌抗As作用未见报道,2,3-吲哚醌作为一种天然活性物质,毒性低,安全性高,在防治As

的临床应用方面具有广阔的前景,但As发病机制非常复杂,为多因素参与,导致药物防治As作用机制的多样性。2,3-吲哚醌预防用药的抗As作用除了与降低血脂及抗氧化作用有关外,还可能与其它作用也有密切关系,因此其确切作用机制还有待于进一步深入研究。

#### [参考文献]

- [1] Gil-Turnes MS, Hay ME, Fenical W. Symbiotic marine bacteria chemically defend crustacean embryos from a pathogenic fungus[J]. Science, 1989, **246**: 116-118
- [2] 刘兆平, 吴葆杰. 动脉粥样硬化实验模型. 见张均田主编, 现代药理实验方法[M]. 北京: 北京医科大学中国协和医科大学联合出版社, 1998; 1: 259-262
- [3] Ruwart MJ, Rush BD, Snyder KF, Peters KM, Appelman HD. 16, 16-dimethyl prostaglandin E 2 delays collagen formation in nutritional injury in rat liver[J]. Hepatology, 1988, **8**: 61-64
- [4] Pierdomenico SD, Costantini F, Bucci A, De Cesare D, Cuccurullo. Low-density lipoprotein oxidation and vitamina E and C in sustained and white-coat hypertension[J]. Hypertension, 1998, **31**: 621-626
- [5] 蔡曼波. 脂蛋白酯酶活化剂NO 1886的研究进展[J]. 中国药理学通报, 2004, **20** (3): 251-254
- [6] Brown G, Albers JJ, Fisher LD, Schaefer SM, Lin JT, Kaplan C. Regression of coronary artery disease as result of intensive lipid-lowering therapy in men with high levels of apolipoprotein B[J]. New Engl J Med, 1990, **323** (19): 1289-298
- [7] Rimm EB, Stamper MJ, Ascherl A, Giovannucci E, Colditz GA, Willett WC. Vitamin E consumption and risk of coronary heart disease in men[J]. N Engl J Med, 1993, **328**: 1450-1453
- [8] 赵艳芳, 秦永文, 王学敏, 缪明永. 曲美他嗪对大鼠缺血再灌注心肌线粒体的保护作用[J]. 中国动脉硬化杂志, 2005, **13** (2): 171-174
- [9] 徐慧, 郑杨, 佟倩. 卡托普利晚期预处理保护人内皮细胞缺氧复氧损伤的作用机制[J]. 中国动脉硬化杂志, 2004, **12** (3): 291-295

(此文编辑 朱雯霞)